

# Poursuite de trajectoires pour des systèmes soumis à des contraintes unilatérales et applications sur les robots bipèdes.

Jean-Matthieu Bourgeot et Bernard Brogliato

jean-matthieu.bourgeot@inrialpes.fr



**INRIA**  
RHÔNE-ALPES



LABORATOIRE  
D'AUTOMATIQUE  
DE GRENOBLE

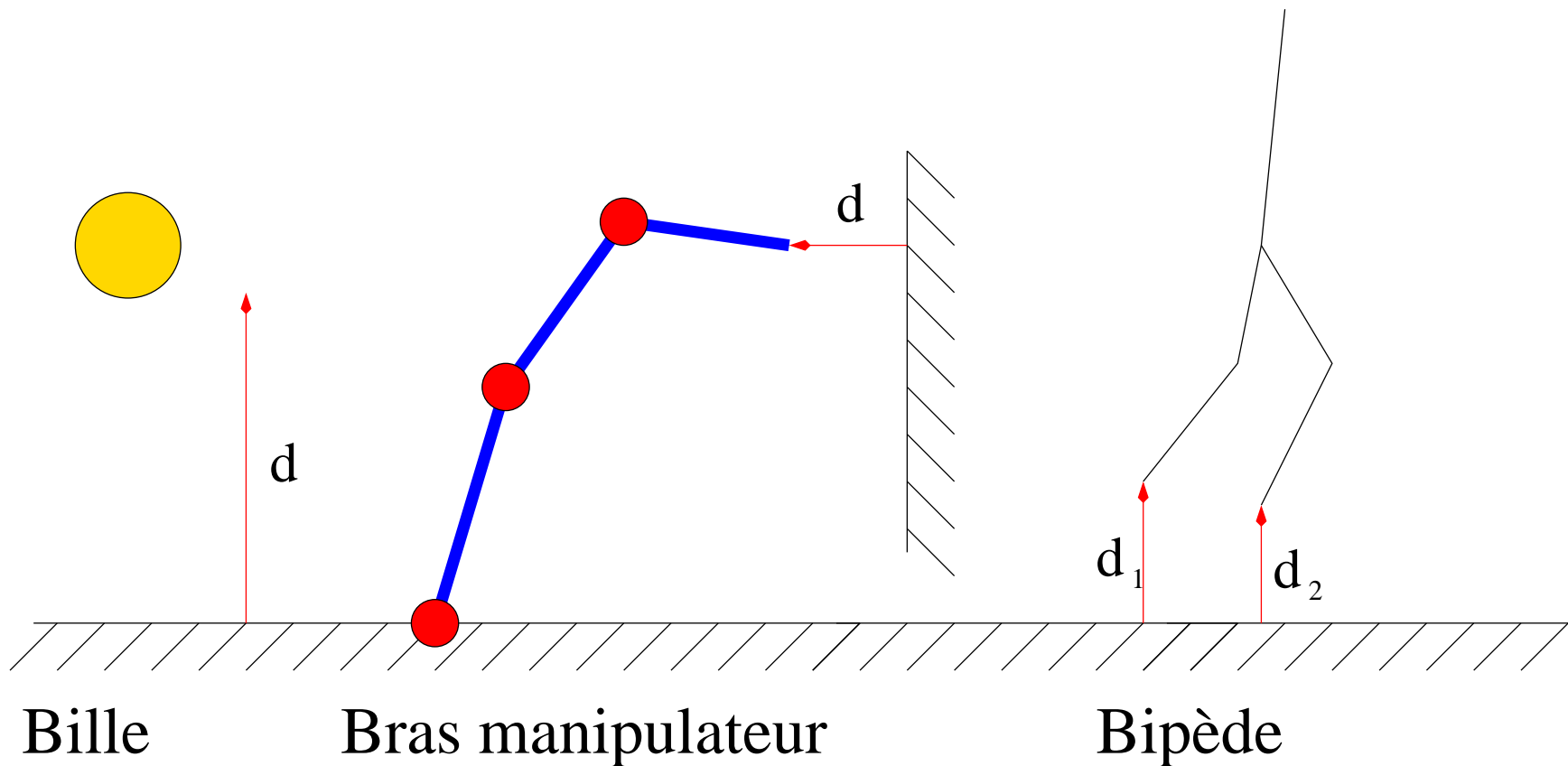
<http://www.inrialpes.fr/bipop/bourgeot>

# Plan

- Objectifs
- Poursuite de trajectoires
  - ▷ Mise en équations
  - ▷ Tâches cycliques
  - ▷ Critère de Stabilité
  - ▷ Contrôle Hybride
  - ▷ Résultats
- Conclusions
- Perspectives

# Contraintes Unilatérales

- Quelques exemples :

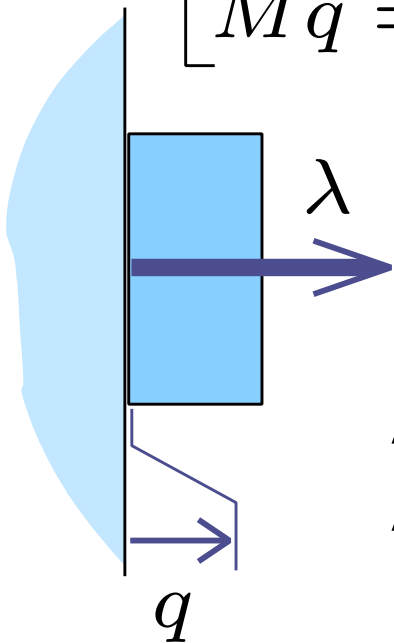


# Objectifs

Poursuite de trajectoires comportant des phases de mouvement libre et de mouvement contraint.

Cas 1ddl:

$$\begin{cases} 0 \leq q \perp \lambda \geq 0 & u = M\ddot{q}_d - \gamma_1(q - q_d) \\ M\ddot{q} = \lambda + u & -\gamma_2(\dot{q} - \dot{q}_d) \end{cases}$$

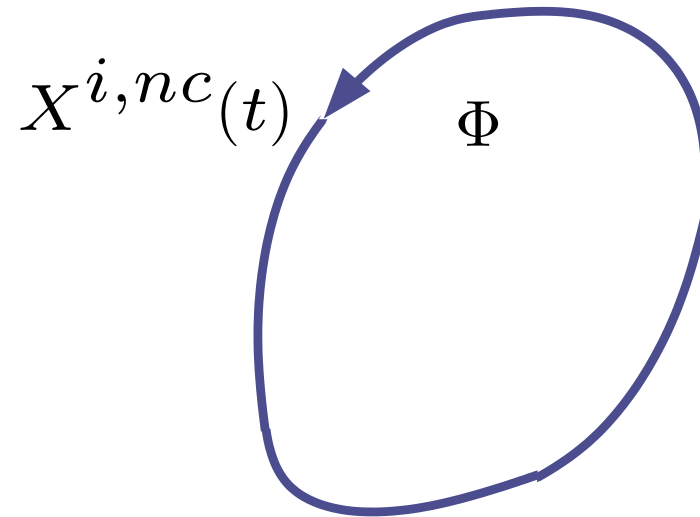


Contact permanent  $q = 0$ ,  $\dot{q} = 0$ ,  $\ddot{q} = 0$   
 en BF:  $-M\ddot{q}_d - \gamma_1 q_d - \gamma_2 \dot{q}_d = \lambda$

Avoir  $\lambda > 0$  impose  $q_d < 0$ ,  
 Avoir  $q_d < 0$  impose de violer la contrainte.

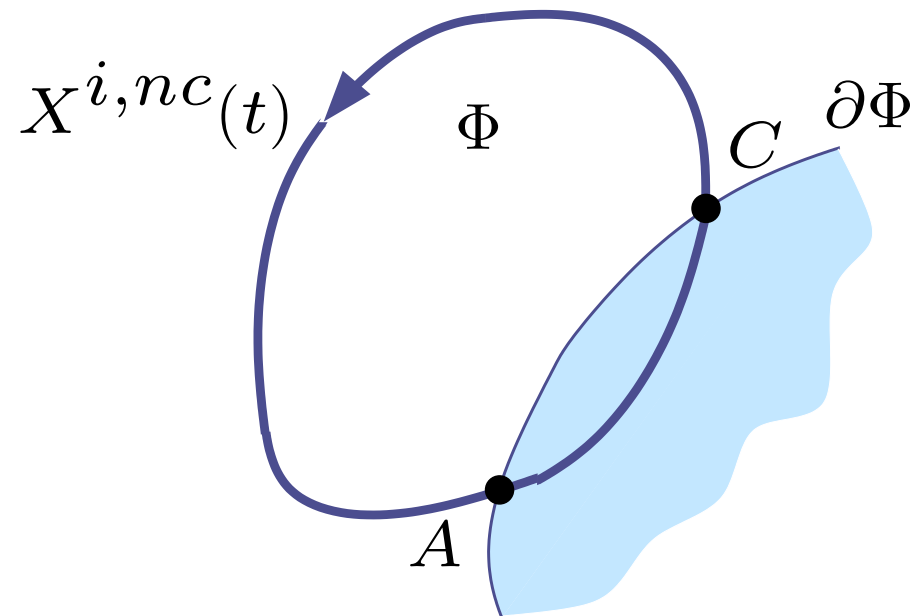
# Poursuite de trajectoires

- Trajectoire non Contrainte



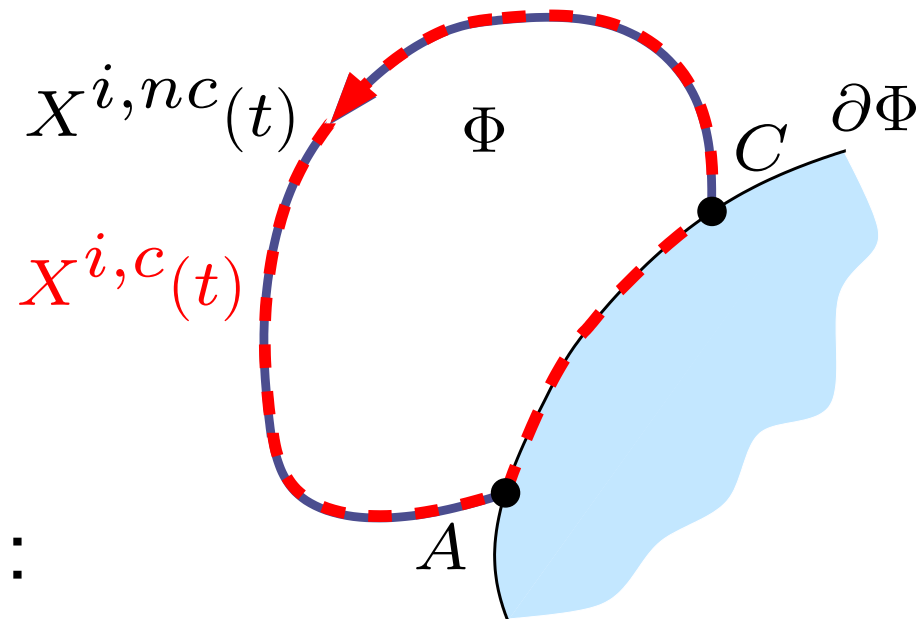
# Poursuite de trajectoires

- Trajectoire Contrainte



# Poursuite de trajectoires

- Trajectoire Contrainte



Tâches cycliques :

Phase Libre  $\rightarrow$  Transition (rebonds)  $\rightarrow$  mvt Contraint (contrôle en force)

$$\mathbb{R}^+ = \Omega_0 \cup I_0 \cup \Omega_1 \cup \Omega_2 \cup I_1 \cup \dots \cup \Omega_{2k-1} \cup \Omega_{2k} \cup I_k \cup \dots$$

# Contraintes Unilatérales

- Equations dynamiques :

$$M(X)\ddot{X} + C(X, \dot{X})\dot{X} + G(X) = u$$



# Contraintes Unilatérales

- Equations dynamiques :

$$M(X)\ddot{X} + C(X, \dot{X})\dot{X} + G(X) = u + \nabla F(X) \cdot \lambda_X$$
$$F(X) \geq 0, \quad F(X)^T \lambda_X = 0, \quad \lambda_X \geq 0$$

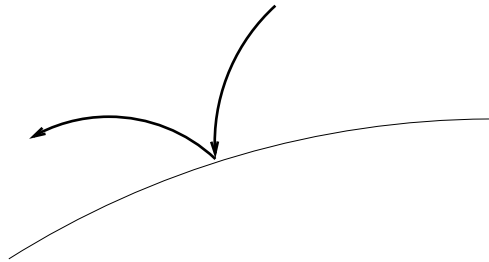
# Contraintes Unilatérales

- Equations dynamiques :

$$M(X)\ddot{X} + C(X, \dot{X})\dot{X} + G(X) = u + \nabla F(X) \cdot \lambda_X$$

$$F(X) \geq 0, \quad F(X)^T \lambda_X = 0, \quad \lambda_X \geq 0$$

Problème de la transition entre  $F(X) > 0$  et  $F(X) = 0$ .



Discontinuités des vitesses aux impacts.

⇒ loi de Newton  $\boxed{\dot{X}_n(t_k^+) = -e\dot{X}_n(t_k^-)}$  avec  $e \in [0, 1]$

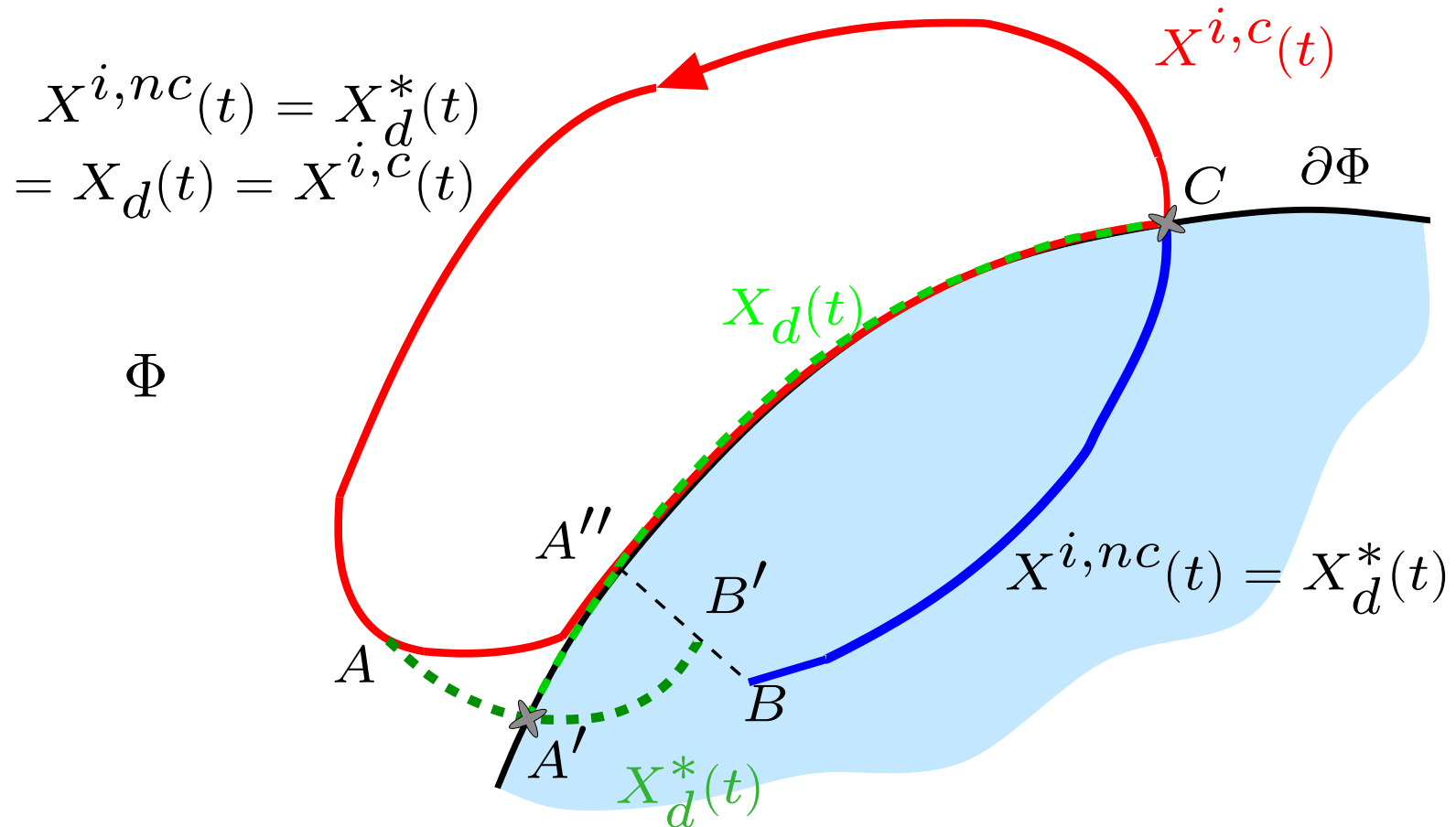
# Pourquoi-pas une approche tangentielle ? une approche sans Impacts.

(Se positionner sur  $\partial\Phi$  avec une vitesse normale nulle)

- Si poursuite non parfaite  $\implies$  présence d'Impacts.  
Mieux vaut en tenir compte dès le début.
- Non-robustesse vis-à-vis de la position de la contrainte.

Par contre la trajectoire doit tendre asymptotiquement vers une approche tangentielle  $\implies$  sans impacts (pour obtenir une stabilité asymptotique).

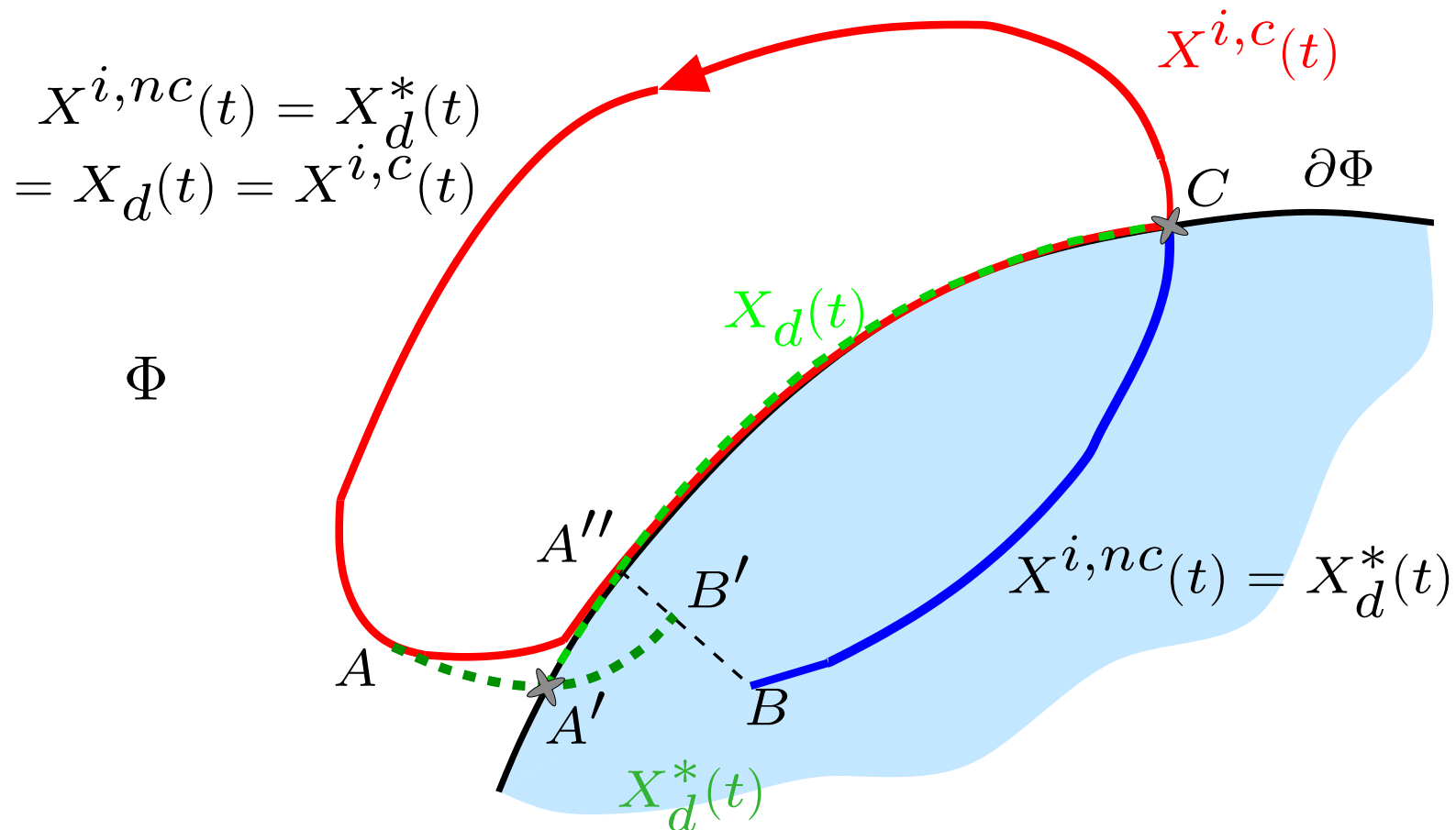
# Tâches Cycliques



$k=0$

Contrôle en force sur  $\partial\Phi \equiv$  contrôle en position.

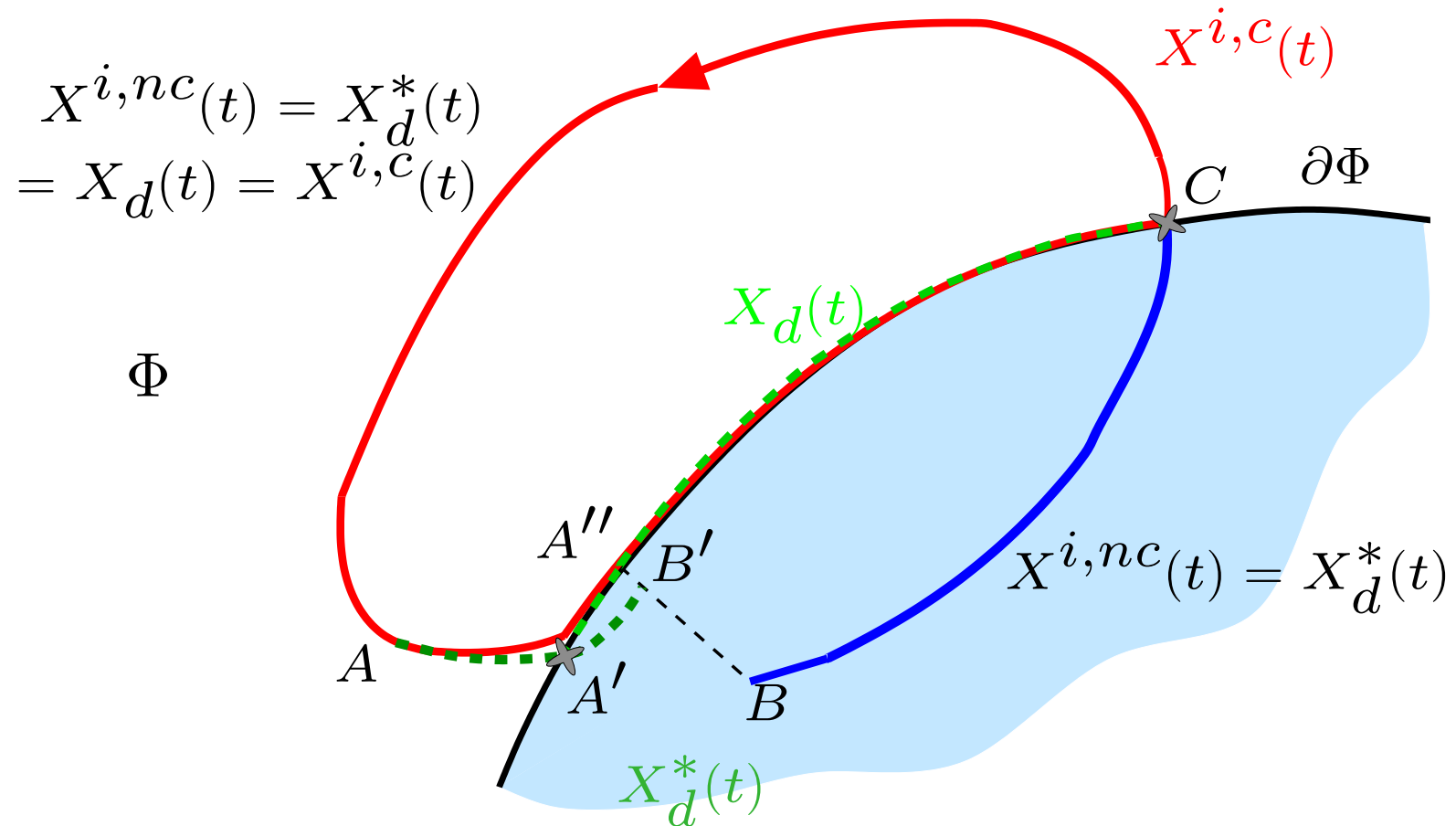
# Tâches Cycliques



$k=1$

Contrôle en force sur  $\partial\Phi \equiv$  contrôle en position.

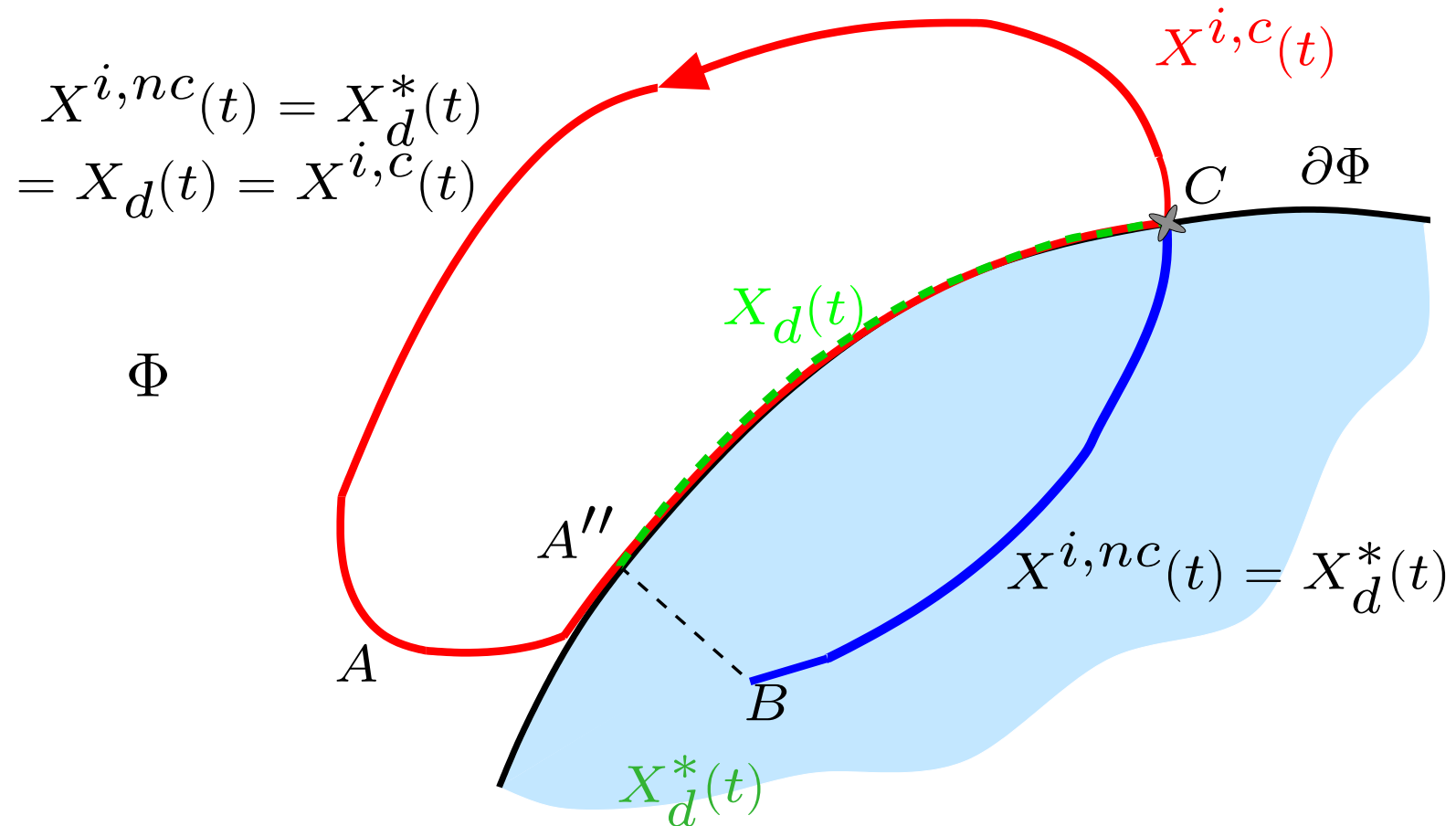
# Tâches Cycliques



$k=2$

Contrôle en force sur  $\partial\Phi \equiv$  contrôle en position.

# Tâches Cycliques



$k=3$

Contrôle en force sur  $\partial\Phi \equiv$  contrôle en position.

## Définition de la Stabilité

- **Système faiblement  $\Omega$ -stable : Si**  
pour tout  $\epsilon > 0$ , il existe  $\delta(\epsilon) > 0$  tel que  $\| x(0) \| \leq \delta(\epsilon) \Rightarrow \| x(t) \| \leq \epsilon$  pour tout  $t \geq 0, t \in \Omega = \cup_{k \geq 0} \Omega_k$ .
- **Système fortement stable : Si**
  - il est faiblement  $\Omega$ -stable,
  - sur les phases  $I_k$ ,  $P_{\Sigma_I}$  est stable au sens de Lyapunov en utilisant la fonction  $V_{\Sigma_I}$ , et
  - la suite  $\{t_k\}_{k \in \mathbb{N}}$  possède un point d'accumulation en temps fini  $t_\infty < +\infty$ .



# Critère de Stabilité

## Claim 1. [ $\Omega$ -Stabilité faible] Si

- $\lambda[\Omega] = +\infty$ ,
- pour tout  $k \in \mathbb{N}$ ,  $\lambda[I_k] < +\infty$ ,
- $V(x(t_f^k), t_f^k) \leq V(x(t_0^k), t_0^k)$ ,
- $V(x(\cdot), \cdot)$  est borné sur chaque  $I_k$ .

Si sur  $\Omega$ ,  $\dot{V}(x(t), t) \leq 0$  et  $\sigma_V(t_k) \leq 0$  pour tout  $k \geq 0$ , alors le système est faiblement stable.

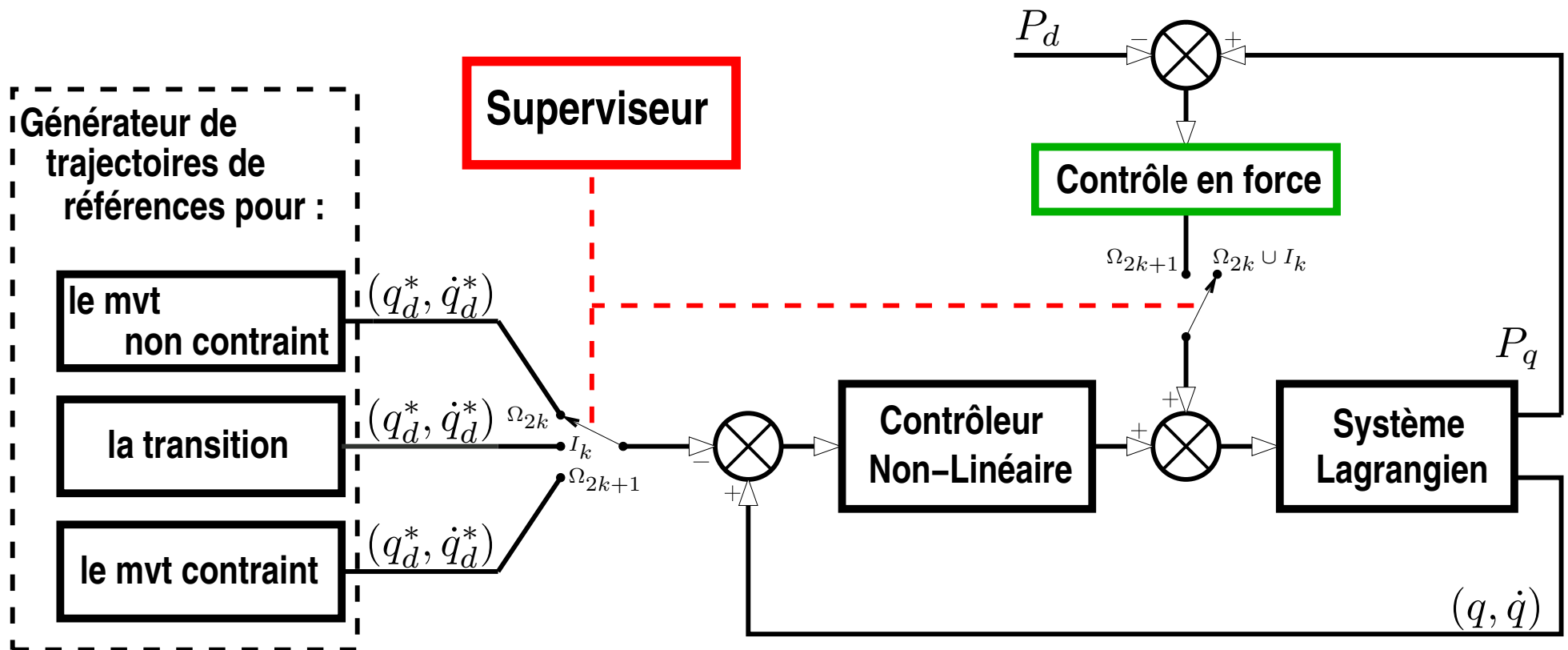
## Claim 2. [Stabilité Forte] Si de plus,

- $V(t_{k+1}^-) \leq V(t_k^-)$ ;
- $V$  est bornée et continue sur  $I_k - \cup_k \{t_k\}$ .

# Fonction de Lyapunov

$$V(t, \tilde{q}, \dot{\tilde{q}}) = \frac{1}{2} \dot{\tilde{q}}^T M(q) \dot{\tilde{q}} + \frac{1}{2} \gamma_1 \tilde{q}^T \tilde{q}$$

- Fonction unique pour les 3 modes,
- Fonction proche de l'énergie du système.

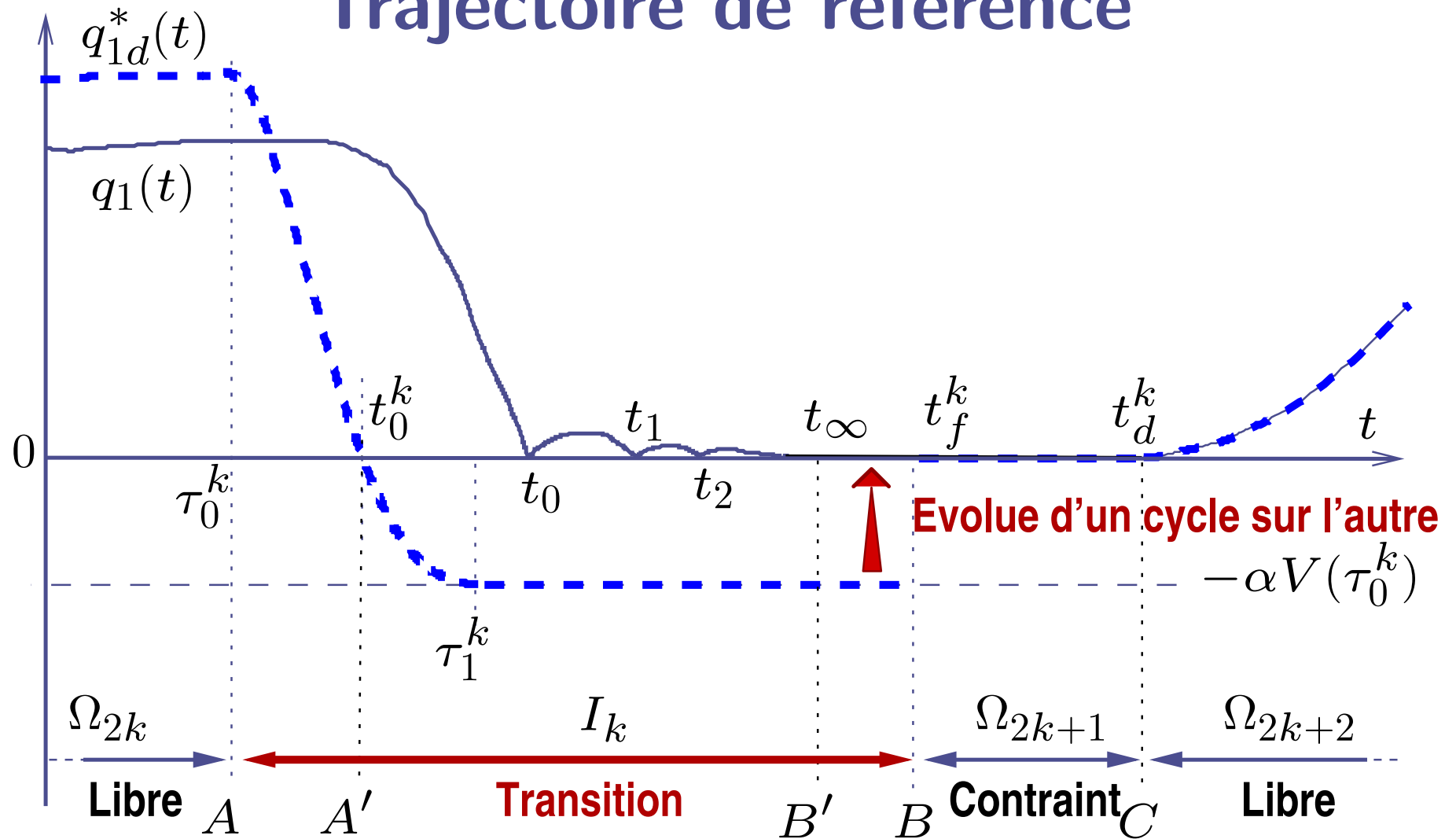


## Lois de commande

Le superviseur commute entre ses différentes lois de commande dérivées de [Pandén-Panja, 1988]:

$$\left\{ \begin{array}{l}
 U_{nc} = M(q)\ddot{q}_d^* + C(q, \dot{q})\dot{q}_d^* + g(q) - \gamma_1(q - q_d^*) \\
 \qquad \qquad \qquad - \gamma_2(\dot{q} - \dot{q}_d^*) \\
 U_t = U_{nc} \quad \text{avant le premier impact} \\
 U_t = g(q) - \gamma_1(q - q_d^*) - \gamma_2\dot{q} \quad \text{après le premier impact} \\
 U_c = U_{nc} - P_d + K_f(P_q - P_d)
 \end{array} \right.$$

# Trajectoire de référence



$q_{1d}^*$  permet de créer “une gravité virtuelle”

# Conditions de Stabilité

Le point clef de l'analyse de stabilité est l'étude du 1<sup>er</sup> impact:

$$\sigma_V(t_0) = T_L(t_0) - \frac{1}{2}\gamma_1 q_{1d}^2(t_0^-) - \frac{1}{2}\dot{q}_d(t_0^-)^T M \dot{q}_d(t_0^-) + \dot{q}(t_0^-)^T M \dot{q}_d(t_0^-)$$

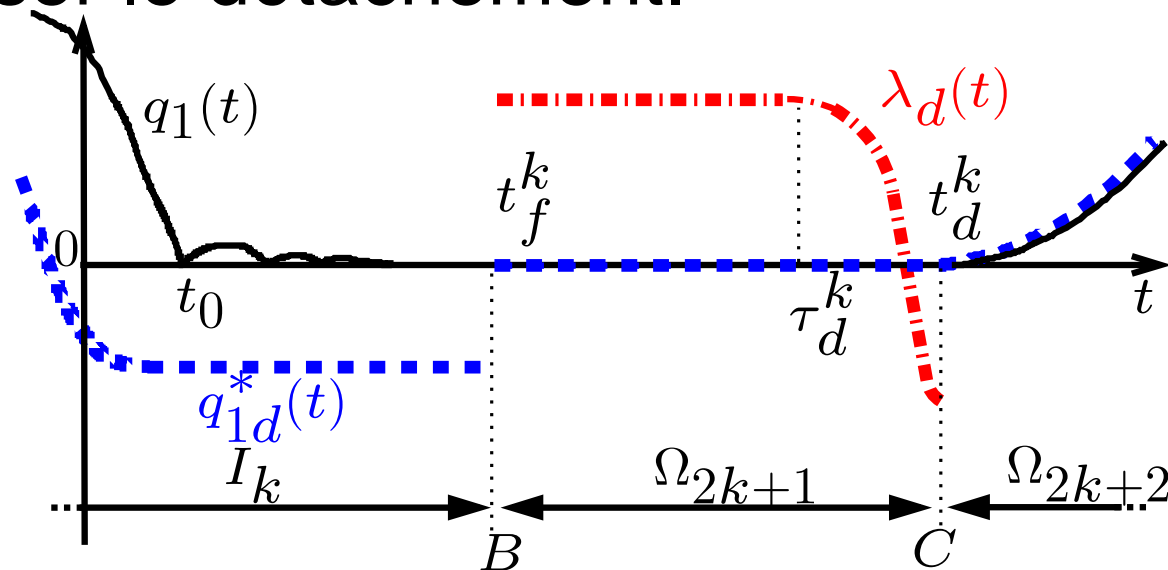
Le signe de  $\sigma_V(t_0)$  depend de  $\dot{q}_d(t_0^-)$ .

# Imposer le Détachement

Détachement si  $\ddot{q}_1(t_d^k) > 0$

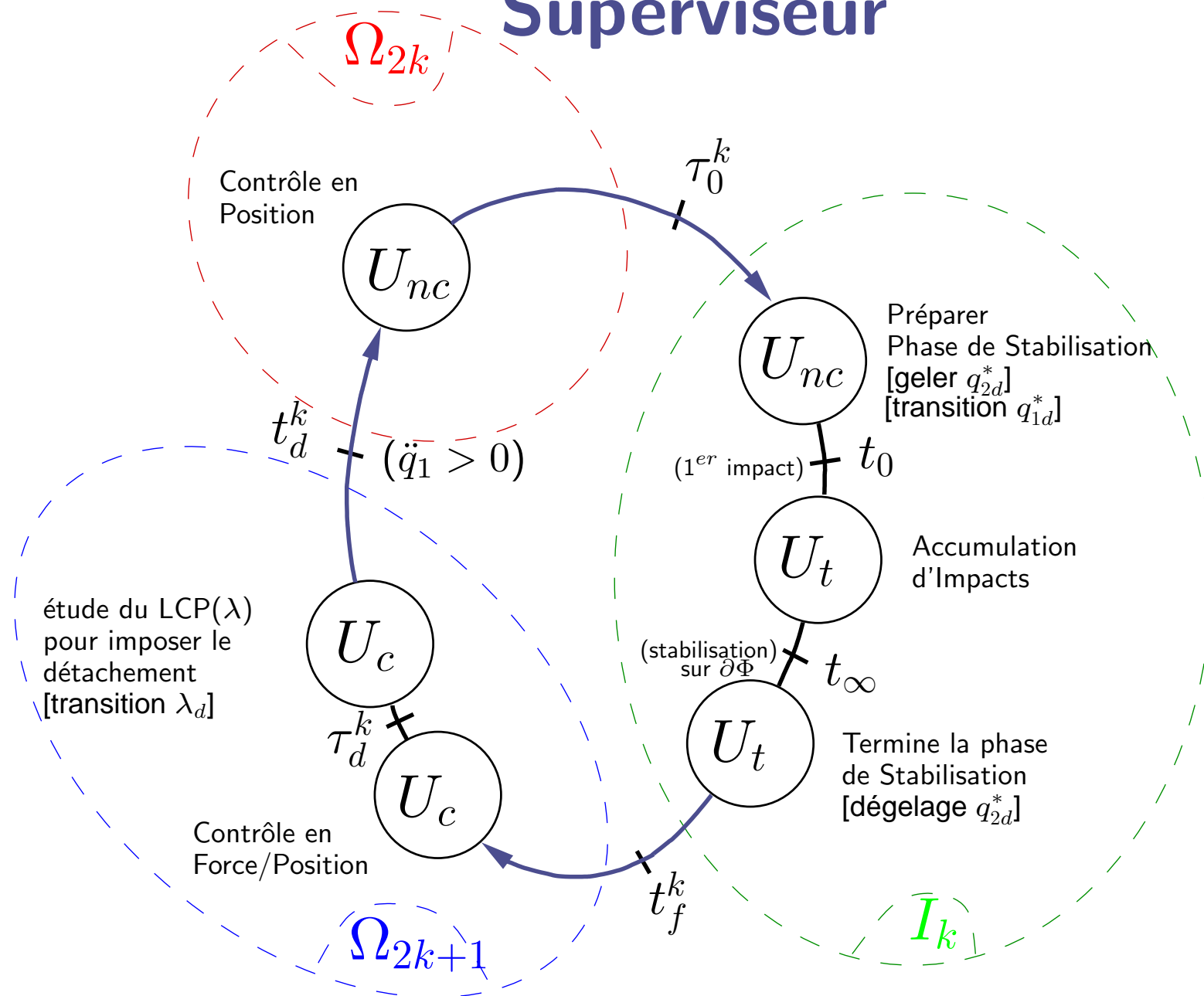
$$\ddot{q}_1(t_d^k) = \ddot{q}_{1d}(t_d^k) - K_1(q)\lambda_d - [K_2(q)\tilde{q}_2(t_d^k) + K_3(q)\dot{\tilde{q}}_2(t_d^k)]$$

Présence de couplages  $\implies \lambda_d = 0$  n'est pas suffisant pour imposer le détachement.



$t_d^k$  : dépend de l'état (state-based variable)

# Superviseur



# Résultats

- Proposition

Le système décrit précédemment est :

- (i) - Asymptotiquement fortement stable si  $x(0) \in \{CI\}$ .
- (ii) - Asymptotiquement fortement stable si  $q_d^*(.)$  est choisi tel qu'au moment du premier impact on ait
 
$$\left[ M_{11}\dot{q}_1(t_0^-) + \dot{q}_2(t_0^-)^T M_{21} \right] \dot{q}_{1d}^*(t_0^-) \leq 0.$$
- (iii) - Asymptotiquement fortement stable si  $M_{12} = 0$  et  $e_n = 0$ .
- (iv) - Asymptotiquement faiblement stable si  $M_{12} = 0$  et  $0 \leq e_n < 1$ .

- $\Rightarrow$  Influence des couplages  $M_{12} = 0$ .



## Loi stable

Lois de commande dérivées de [Slotine-Li, 1988]:

$$\begin{cases} U_{nc} & = M(q)\ddot{q}_r + C(q, \dot{q})\dot{q}_r + g(q) - \gamma_1 s \\ s & = \dot{\tilde{q}} + \gamma_2 \tilde{q} \\ \dot{q}_r & = \dot{q}_d - \gamma_2 \tilde{q} \\ V_1(t, s) & = \frac{1}{2} s(t)^T M(q) s(t) \end{cases} \quad (1)$$

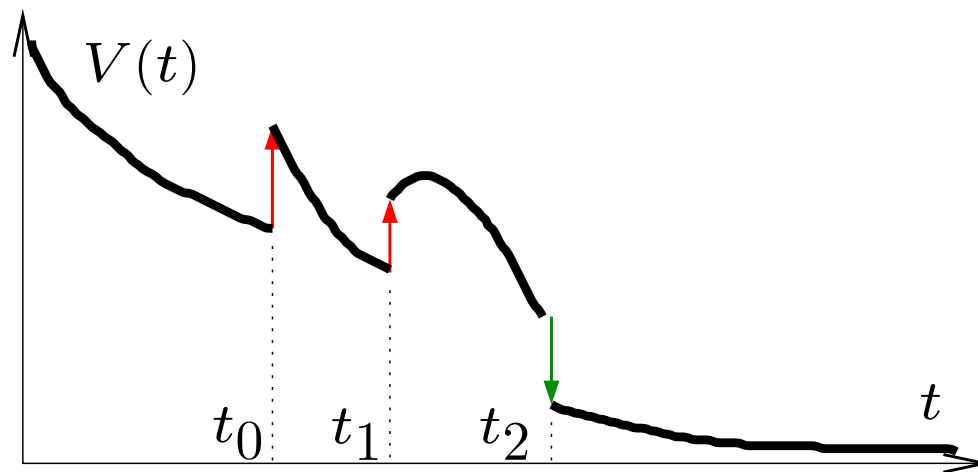
Intérêt : décroissance exponentielle de  $V_1(t, s)$ .

$$\dot{V}_1(t) \leq -\frac{2\gamma_1}{\lambda_{max}(M(q))} V_1(t)$$

## Résultats - 2

### Claim 3. [ $\Omega$ -Stabilité faible] Si

- (a) - hors des phases  $I_k$ ,  $\dot{V}(t) \leq -\gamma V(t)$  pour un  $\gamma > 0$ ,
- (b) - sur les phases  $I_k$ ,  $V(t_{k+1}^-) - V(t_k^+) \leq 0, \forall k \geq 0$ ,
- (c) - système initialisé sur  $\Omega_0$  avec  $V(\tau_0^0) \leq 1$ ,
- (d) -  $\sum_{k \geq 0} \sigma_V(t_k) \leq KV^\kappa(\tau_0^k) + \epsilon$  avec  $\kappa \geq 0, K \geq 0$  et  $\epsilon \geq 0$ .



## Résultats - 2

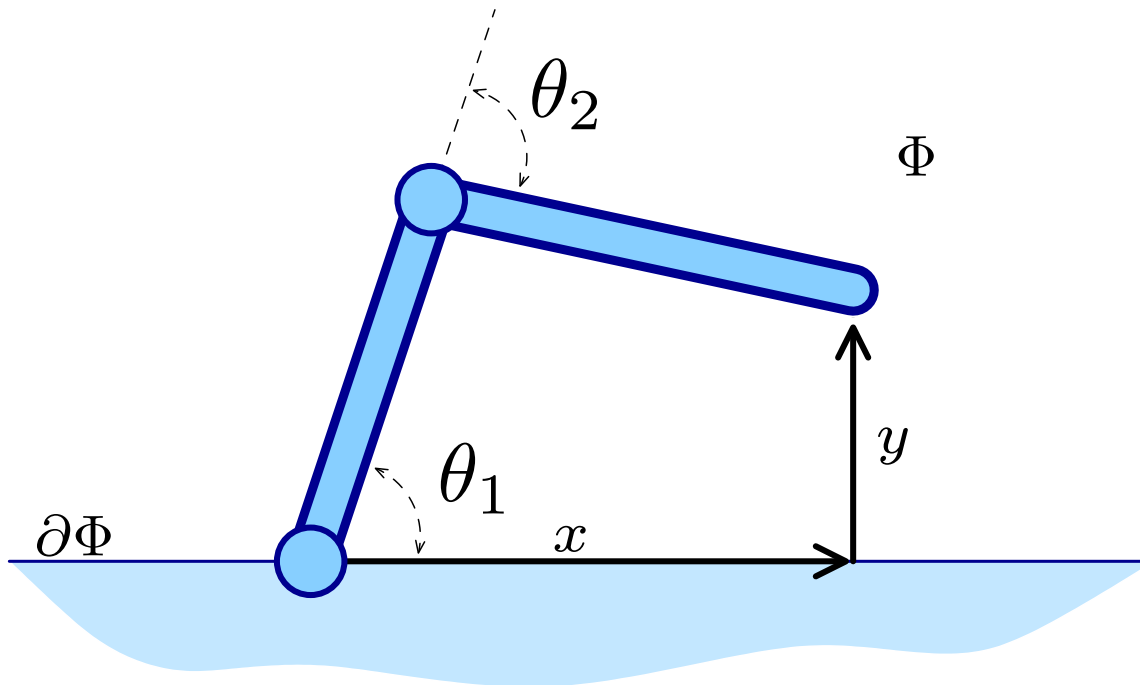
*Alors il existe une constante  $N < +\infty$  tel que si  $\lambda[t_\infty^k, t_f^k] = N, \forall k \geq 0$ , et tel que :*

- (i) - *Si  $\kappa \geq 1, \epsilon = 0$  et  $N = \frac{1}{\gamma} \ln\left(\frac{1+K}{\delta}\right)$  pour un  $0 < \delta < 1$ , alors  $V(\tau_0^{k+1}) \leq \delta V(\tau_0^k)$ . Le système est asymptotiquement faiblement stable.*
- (ii) - *Si  $\kappa < 1$ , alors  $V(\tau_0^k) \leq \delta(\gamma)$ . Le système est pratiquement asymptotiquement faiblement stable avec  $R = \alpha^{-1}(\delta(\gamma))$ .*

■

# Simulations

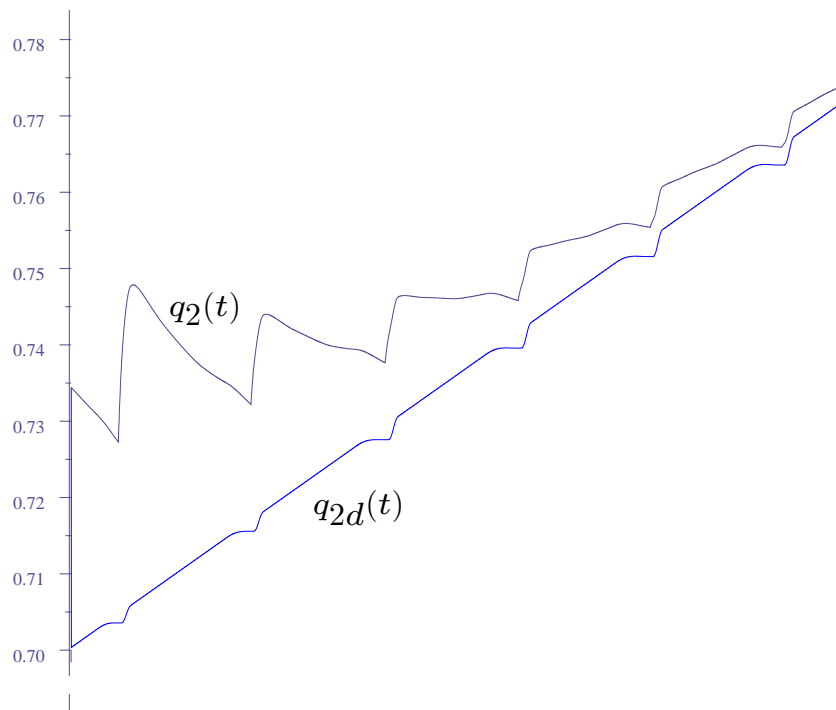
- Etude sur un bras à 2ddl :



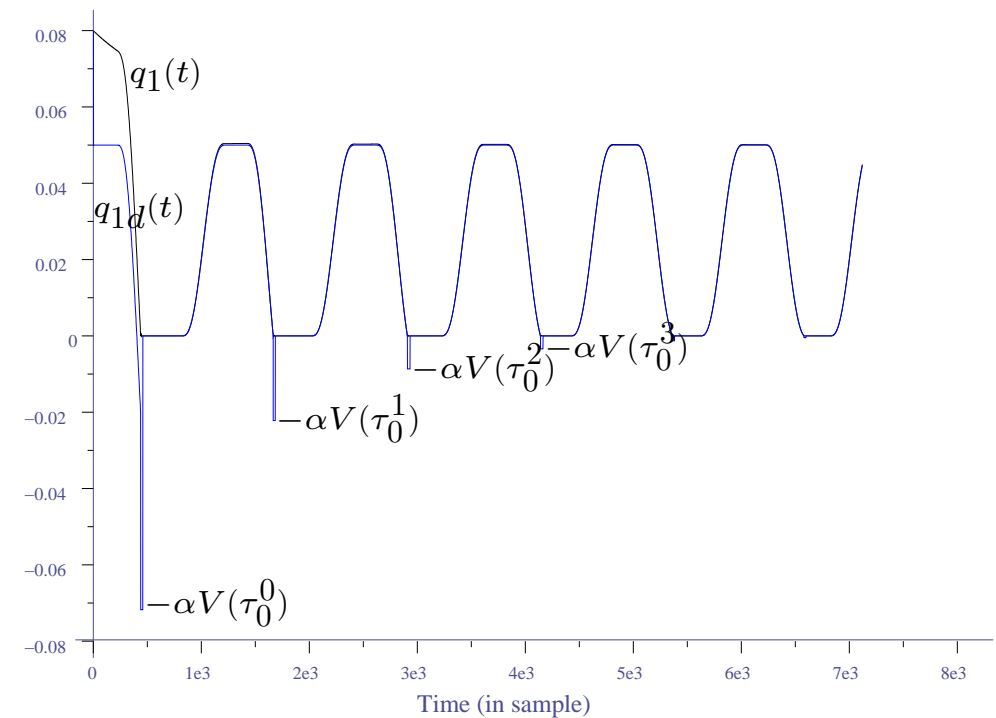
$$\text{avec } q = \begin{bmatrix} q_1 \\ q_2 \end{bmatrix} = \begin{bmatrix} y \\ x \end{bmatrix}, \quad y \geq 0$$

# Résultats de Simulation (1)

- Convergence asymptotique :



Position longit. de l'outil.

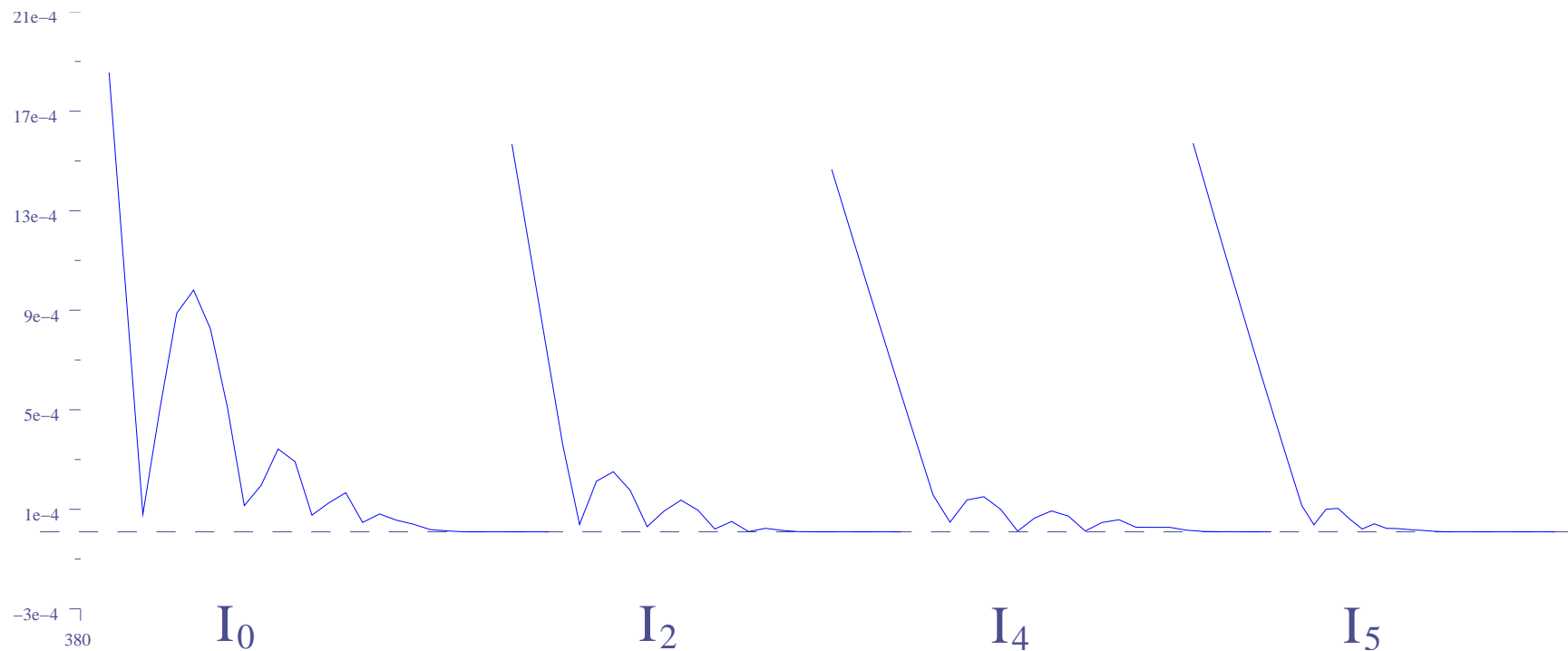


Altitude de l'outil.

sauts dans  $\dot{q}_2(t) \iff$  couplages.

## Résultats de Simulation (2)

- Hauteur des rebonds :



Atténuation asymptotique de la hauteur des rebonds.

# Conclusions

- Convergence asymptotique,
- Prise en compte des impacts dans l'étude de stabilité,
- Robustesse viv-à-vis de la position de la contrainte,
- Indépendance de la loi de commande par rapport au coefficient de restitution  $e_n$ .

# Perspectives

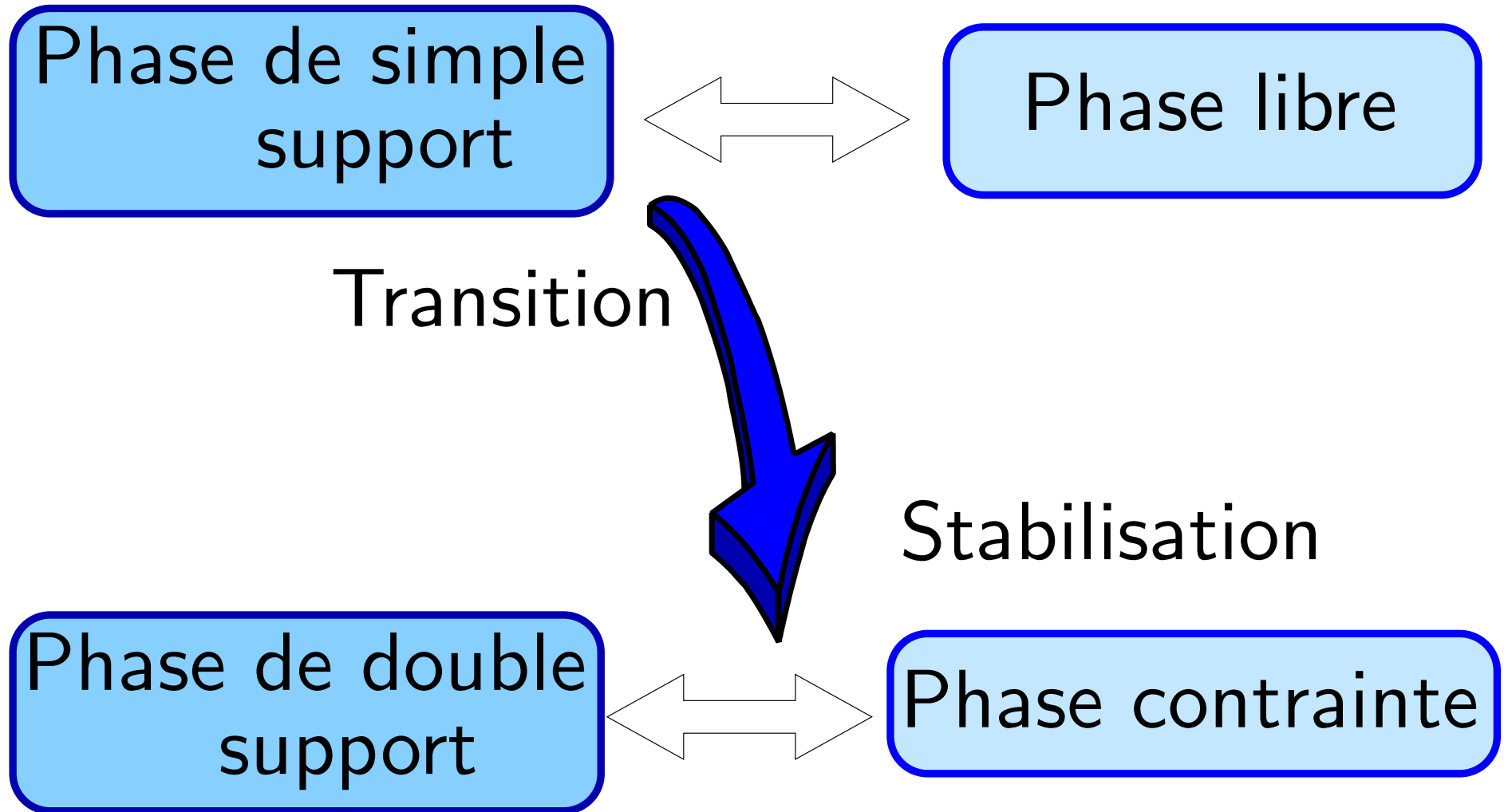
- Lois de commande dérivées de Slotine et Li,
- Chocs multiples :
  - ▷ Cas des chocs plastiques  $e_n = 0$  :
    - ◇ angle cinétique aigu,
    - ◇ angle cinétique obtu.
  - ▷ Cas Général  $e_n \neq 0$ .
- Flexibilités,
- Applications aux bipèdes.



# Perspectives

- Lois de commande dérivées de Slotine et Li,
- Chocs multiples :
  - ▷ Cas des chocs plastiques  $e_n = 0$  :
    - ◇ angle cinétique aigu,
    - ◇ angle cinétique obtu.
  - ▷ Cas Général  $e_n \neq 0$ .
- Flexibilités,
- Applications aux bipèdes.

# Applications aux bipèdes



# Rabbit

Rabbit robot marcheur plan 5 corps - 4 moteurs :

2 problèmes principaux :

```
graph TD; A[2 problèmes principaux :] --> B[Sous Actionnement]; A --> C[Non Régularité];
```

Sous Actionnement

[Westervelt, Grizzle, Koditschek, 2003] HZD  
[Chevallerau, 2003] Time-Scaling

Non Régularité

Modèle d'impact  
Stabilisation  
Suivi de trajectoires

# Suivi de trajectoires

- Résultats pour  $e_n = 0$  (chocs plastiques) : Cas du bipède

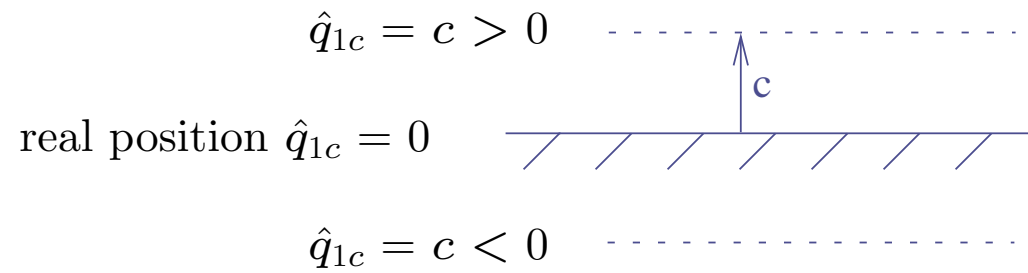
$e_n = 0 \implies$  un seul impact par phase  $I_k$ ,  
l'item (b) du claim **3** n'est plus nécessaire.

\*\*\*

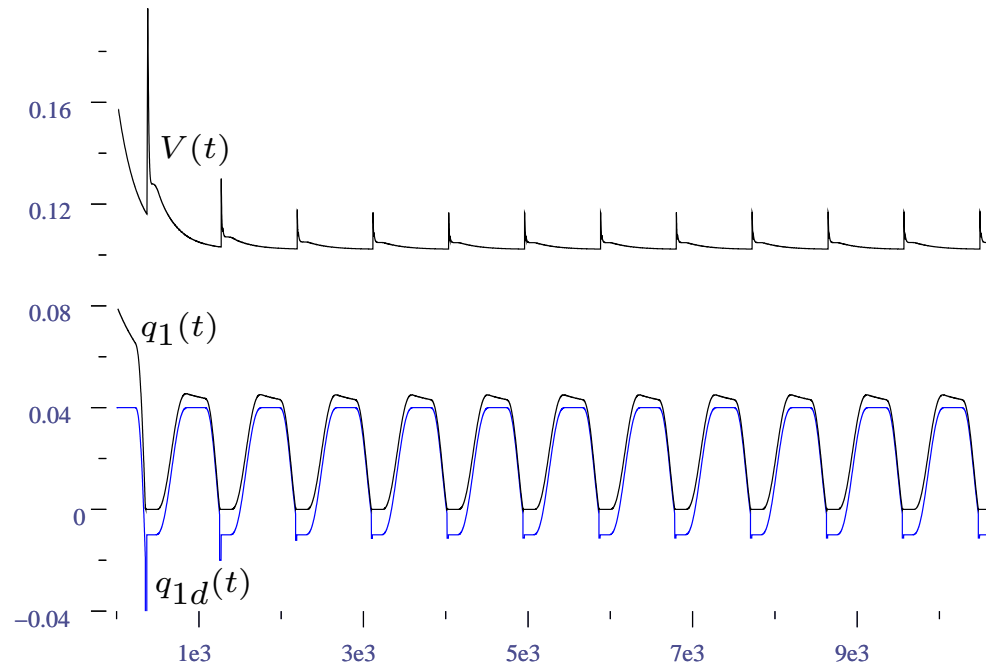
**That's all folk**

# Robustesse (1)

- Incertitude sur la position.

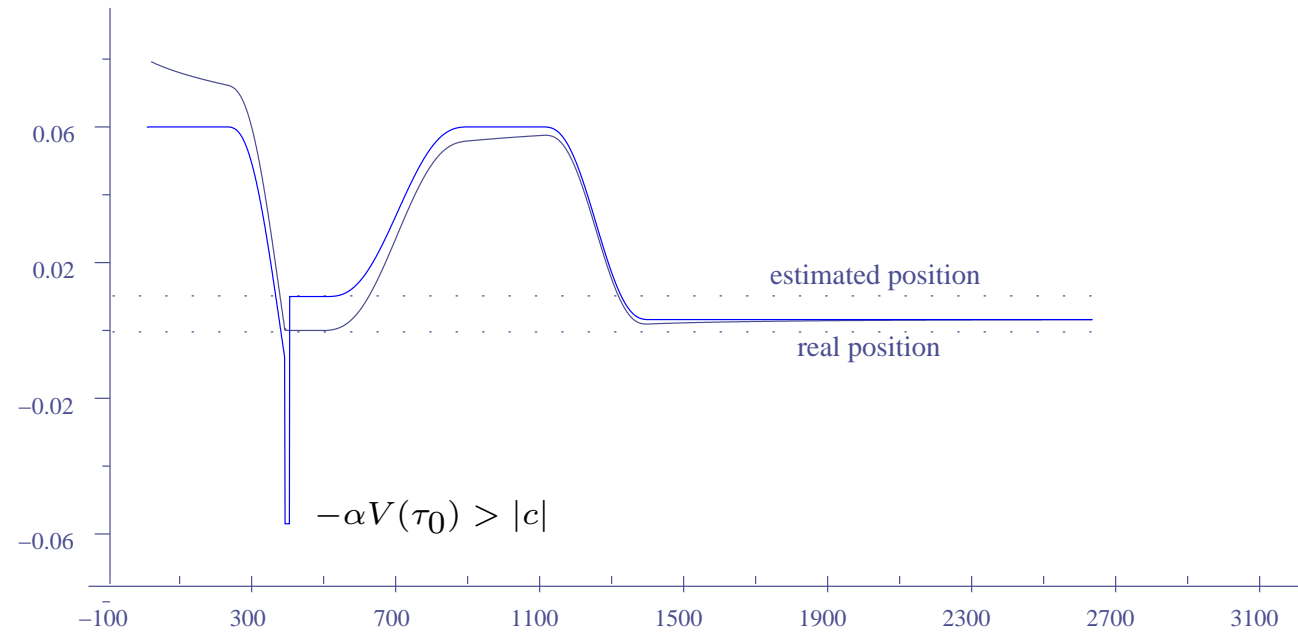


- Si  $c < 0$



## Robustesse (2)

- Si  $c > 0$



- Ajustement automatique de la position estimée.

